

12Cr 강의 이동 화염경화 공정 특성

김광호^a, 이민구^{b*}, 김경호^c, 김홍희^c, 이창규^b, 김길무^a

^a충남대학교 재료공학과, ^b한국원자력연구소 원자력나노소재응용랩, ^c한국원자력연구소 재료기술개발부

Characteristics of Flame Hardening Process for 12Cr Steels

Gwang-Ho Kim^a, Min-Ku Lee^{b*}, Kyeong-Ho Kim^c, Whung-Whoe Kim^c,
 Chang-Kyu Rhee^b, Gil-Mu Kim^a

^aDepartment of Materials Engineering, Chungnam National University, Yusung,
 Daejon 305-533, South Korea

^bNuclear Nanomaterials Development Lab, Korea Atomic Energy Research Institute,
 P.O. Box 105, Yusung, Daejon, 305-353, South Korea

^cNuclear Materials Technology Development Team, Korea Atomic Energy Research Institute,
 P.O. Box 105, Yusung, Daejon, 305-353, South Korea

(Received 1 February 2006 ; accepted 8 March 2006)

Abstract

In this study, the movable flame hardening process of 12Cr steel for a uniform hardness and desirable residual stress have been investigated. For this, the temperature cycles have been controlled accurately as a function of the three processing variables, the flame intensity I_f , the scanning velocity V_s and the initial flame holding time t_h , where the standard surface temperature $T_{s,\max}$ was maintained at 960°C. The optimized conditions were $V_s = 0.68 \text{ mm/s}$ and $t_h = 67 \text{ sec}$ for the $\text{C}_3\text{H}_8:\text{O}_2 = 5:20 \text{ l/min}$, $V_s = 0.80 \text{ mm/s}$ and $t_h = 56 \text{ sec}$ for the $\text{C}_3\text{H}_8:\text{O}_2 = 6:24 \text{ l/min}$, $V_s = 1.01 \text{ mm/s}$ and $t_h = 48 \text{ sec}$ for the $\text{C}_3\text{H}_8:\text{O}_2 = 7:28 \text{ l/min}$, and $V_s = 1.15 \text{ mm/s}$ and $t_h = 39 \text{ sec}$ for the $\text{C}_3\text{H}_8:\text{O}_2 = 8:32 \text{ l/min}$. The optimally flame-hardened surface exhibited uniform distributions of the hardness and residual compressive stress over the treated area with moderate levels of $470\sim490 \text{ HV}_{0.2}$ in hardness and $-300\sim-450 \text{ MPa}$ in residual stress, which were acceptable on the basis of the acceptance criteria of Siemens AG-KWU and GE Power Generation Engineering.

Keywords: Flame hardening, 12Cr steel, Steam turbine blade, Residual stress, Heat treatment

1. 서 론

화염경화공정은 증기 및 가스 터빈 블레이드와 롤(roll), 축류(cam) 등 다양한 기계적 구조 부품들의 성능과 수명 향상을 위해 널리 적용되고 있다. 이는 공정 자체가 단순하고 저비용이며, 대형 또는 대 면적 부품에 적용이 용이하다는 공정상 중요한 잇점을 갖기 때문이다¹⁻³⁾. 이러한 화염경화에 의한 표면처리는 고 에너지의 화염으로 재료 표면을 국부적으로 가열하여 설정온도에 도달시킨 후 이어서 빠른 냉각을 실시하는 것으로 공정이 이루어진다.

강의 경우에는 이러한 금랭에 의해 오스테나이트로부터 마르텐사이트 변태가 일어나면서 표면경화가 발생된다. 그러나 고온의 화염처리는 표면경화와 함께 상변태 및 온도구배에 기인하는 불필요한 잔류응력의 형성을 수반하게 되는데 특히 높은 인장응력이 형성될 경우 응력부식균열, 피로파괴, 취성파괴 등 재료 파괴 반응에 대한 민감도가 증가하게 된다^{4,5)}. 따라서 화염경화 공정처리 시 내부 잔류응력의 조절은 경도 조절과 함께 공정 최적화에 매우 중요한 인자이다. 이전 연구에서 원자력 증기 터빈 동의의 재료로 사용되고 있는 12Cr 강을 이용하여 화염경화 처리 시의 열 이력에 따른 경도, 경화깊이 및 경화층의 잔류응력 특성 변화에 대해 체계적

*Corresponding author. E-mail : leeminku@kaeri.re.kr

으로 고찰하였다³⁾. 그 결과, 표면경도와 경화 깊이는 표면온도와 오스테나이트화 시간의 증가에 비례하여 선형적으로 증가하고, 경화층의 잔류응력은 표면온도와 냉각속도가 증가하면서 압축응력 상태에서 인장응력 상태로 변화되는 등, 화염처리 시의 열이력에 따라 경화 특성 및 잔류응력 특성이 민감하게 변화됨을 관찰하였다. 그러나 이전 연구는 국소 영역($10\text{ mm} \times 10\text{ mm}$)에서 고정된 화염에 의해 이루어졌기 때문에 대형 부품인 터빈 동의(길이: 1092 mm)을 최적온도로 균일하게 화염처리하기 위해서는 화염이동에 따른 열 이력 제어에 관한 연구가 반드시 필요하다. 따라서 본 연구에서는 정밀한 공정제어를 통해 단순 화염이동 조건과 화염을 일정시간 동안 유지 후 이동한 경우를 비교하여 열이력 특성을 이해하고자 하였고, 이를 통해 최적의 이동 공정조건을 결정하였다. 이를 위해 화염가스의 유속, 이동속도 및 유지시간을 공정변수로 설정하여 정밀하게 조절하였고, 열 이력의 변화가 경화 특성 및 잔류응력 특성이 미치는 영향을 조사하였다. 화염의 이동공정시 설정된 표면온도는 이전연구에서 GE의 물성기준에 의거하여 최적화된 960°C 이었다.

2. 실험방법

본 연구에 이용된 12Cr steel은 터빈 동의 재료로 11.5~12.5Cr, 0.25~0.65Mn, 0.20Mo, 0.05~0.20Nb, 0.12~0.15C, 0.025P, 0.025S, 0.50Si, 0.75Ni, bal. Fe(wt.%)의 화학조성을 가진다. 터빈 동의과 같이 큰 면적을 갖는 부품을 화염 이동공정에 의해 화염 경화할 경우 승온 특성은 제작 시편의 체적과 밀접한 관련을 갖는다. 승온 특성의 시편 체적 의존성을 검토한 결과 각 유속에서 일정 면적 이하에서는 시편 면적(두께 일정)이 증가함에 따라 승온 시간이 증가함을 명확히 보여주지만 시편 면적이 약 $8\text{ cm} \times 8\text{ cm} = 64\text{ cm}^2$ (두께: 1.5 cm) 이상이 되면서 승온 시간의 증가는 점차 완만해지거나 일정해진다는 것을 알 수 있었다. 이는 화염 조사 면적과 단위 시간당 열 주입량이 일정하므로 시편면적이 일정 면적 이하에서는 시편 면적이 증가함에 따라 열전달 속도가 감소하다가 시편면적이 일정 면적을 초과하는 경우 열전달 속도가 일정해지는 현상 때문이다. 이와 같이 시편 크기에 따라 달라지는 열전도 및 승온 거동의 이해를 바탕으로 임의의 크기를 갖는 실험 시편이나 실제 부품 크기의 재료 표면에 화염 경화 처리 시 설계된 온도와 도달시간에 대한 승온 공정의 설계가 가능해진다.

따라서 본 연구에서는 실제 터빈 동의 형태와 크기를 모사하고 위의 승온 특성이 적용되도록 하기 위해 시편을 $5\text{ cm} \times 15\text{ cm} \times 1.5\text{ cm}$ 의 bar 형태로 가공하였다. 화염원으로는 99% O_2 와 96.9% 프로판 (C_3H_8) + 1.0% 에탄(C_2H_6) + 1.9% 부탄(C_4H_{10}) 등이 혼합된 가스를 이용하였다. 시편과 토치사이의 거리를 일정하게 유지하기 위해 토치는 guide rail에 고정하여 이동시켰고, 시편 표면의 온도를 민감하면서도 정확하게 측정하기 위해 $<0.1\text{ mm}$ 깊이까지 k-type 열전대(TC)를 위치시켰으며, 열전대는 clamp를 이용하여 고정시켰다. 이동 시 시편 각 지점의 온도변화를 정확하게 측정하기 위해 8개의 열전대를 $10\sim 15\text{ mm}$ 의 간격으로 위치시켰다. 시편 표면온도 변화는 열전대를 PC의 DAQ board에 연결하여 실시간으로 측정하였다. 토치의 이동속도는 0.01 mm/s 의 정밀도로 미세하게 제어하였다. 이러한 화염경화 실험 장치 및 공정도를 그림 1에 나타내었다.

또한 열 이력에 따른 경화 특성 및 잔류응력 특성을 확인하기 위해 화염경화 영역의 길이(L , 위치: W/2 지점)방향 및 폭(W , 위치: L/2 지점)방향에 대해 Vickers 경도(모델명: HMV200, AKASI) 시험 및 X-선 회절(모델명: STRESSCAN3000,

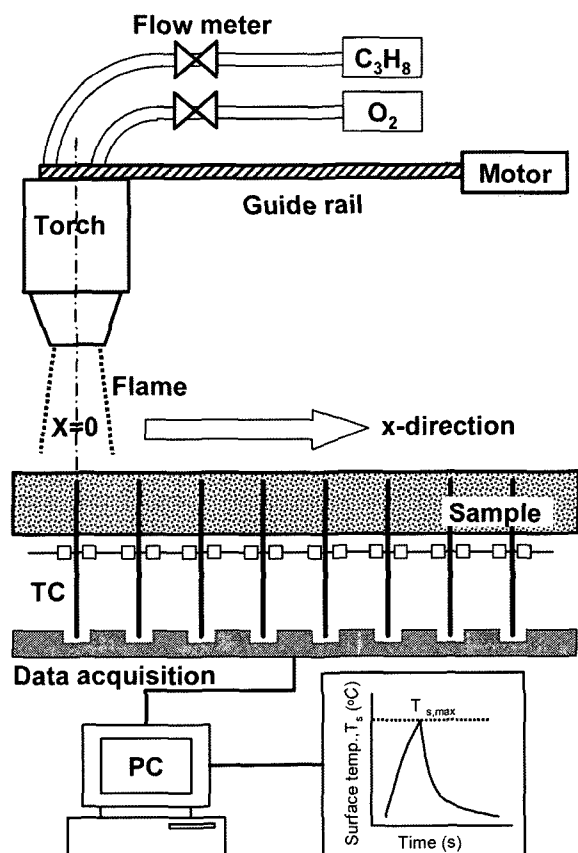


Fig. 1. Schematic diagram of movable flame hardening apparatus.

STRESSSTECH)을 이용한 잔류응력 측정을 실시하였다. 측정에 이용된 결정면은 (211)이었고, Cr K α 선을 이용하여 ψ 각의 변화에 따라 각각의 d_{211} 을 측정하여 $\sin^2\psi$ 법으로 잔류응력을 계산하였다⁸⁾. 계산에 이용된 12Cr 강의 Young's modulus(E)와 poisson's ratio(v)는 각각 217 GPa과 0.26이었다. 기계적 전 처리 및 표면 상태는 X-선 회절에 의한 잔류응력 결과에 매우 민감한 영향을 주므로 모든 시편들은 표면을 전해 연마하여 산화막 및 불순물의 영향을 최소화하였다.

3. 결과 및 고찰

3.1 화염 이동에 의한 공정 특성

일반적으로 화염 이동 공정에 있어서는 화염유속, 이동속도(V_s)와 화염유지시간(t_h)을 정밀하게 조절함으로써 균일한 온도제어가 가능하게 된다. 터빈 동의의 화염경화 공정 시 가장 중요하게 고려되어야 할 것은 경화 표면 전반에 걸쳐 균일하고 원하는 경도와 잔류 응력 등의 물성을 얻는 것인데 이는 화염 이동공정시 변수에 따른 열이력 특성의 이해와 공정의 정밀한 제어에 달려있다. 그림 2는 일정한 화염유속($C_3H_8 : O_2 = 8:32 \text{ l/min.}$)과 $V_s (= 0.71 \text{ mm/s})$ 에서 화염이 x 방향으로 이동함에 따라 화염처리 영역의 각 지점들이 겪는 표면온도 T_s 변화를 나타내고 있다. 이동 속도가 일정할 때 최대표면온도 $T_{s,\max}$ 는 x 방향으로의 거리가 증가함에 따라 증가하는 경향을 나타내는데 이는 초기 지점($x=0$)에 비해 x 방향으로의 거리가 증가함에 따라 열전달에 의한 열의 누적이 심화되기 때문이며 이동시 위치별 온도특성의 전형이라고 할 수 있다. 각 지점의 열이력 곡선은 화염 이동에 의해 점차 가열되어 최

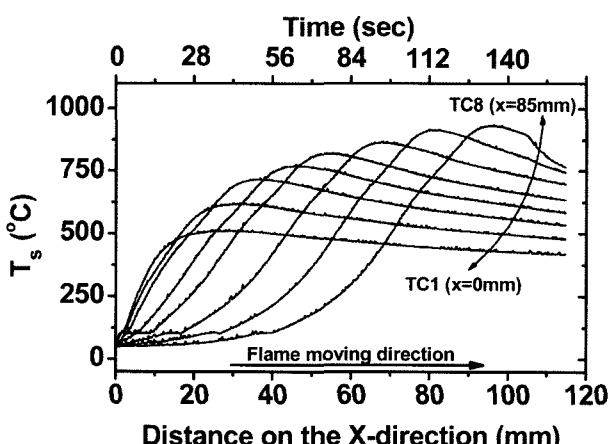


Fig. 2. Temperature profile at surface as a function of distance on the X-direction for $C_3H_8 : O_2 = 8:32 \text{ l/min.}$, $V_s = 0.71 \text{ mm/s}$.

대표면온도 $T_{s,\max}$ 에 도달한 후 공냉되는 특성을 나타내는데 재미있게도 화염 이동 초기지점(TC1, $x=0 \text{ mm}$)의 승온 곡선과는 달리 TC3($x=20 \text{ mm}$) 이상에서는 $T_{s,\max}$ 에 도달하기 전에 승온속도가 변하는 변곡점을 관찰할 수 있다. 이는 본 연구에 이용된 화염(직경 30 mm)에서 산소공급이 더욱 원활한 화염외부의 온도가 내부에 비해 높기 때문인데⁹⁾, 이러한 온도구배로 인해 고온구역과 저온구역의 경계에서 승온속도의 변화가 발생되게 되는 것이다. 따라서 이러한 변곡점의 발생은 화염 이동 공정에서의 전형적인 열 이력 특성이라고 할 수 있다. 또한 $T_{s,\max}$ 는 초기지점(TC1, $x=0 \text{ mm}$)에 비해 마지막지점(TC8, $x=85 \text{ mm}$)으로 화염이 이동할수록 점차 증가하며 이러한 $T_{s,\max}$ 의 증가량은 점차 감소하여 일정한 온도로 포화되는 것을 볼 수 있다. 이는 화염 이동 초기지점과 거리가 멀어질수록 시작지점의 열 영향과 상관없이 순수하게 이동공정 자체의 열 이력만이 작용하기 때문이다. 따라서 마지막지점의 $T_{s,\max}$ 를 이용하여 이전 연구에서 최적 물성을 나타내었던 설정온도에 도달할 수 있는 공정조건을 결정할 수 있다.

이러한 공정적 이해를 바탕으로 최적 V_s 를 결정하기 위해 V_s 변화에 따른 시편 각 지점에서의 $T_{s,\max}$

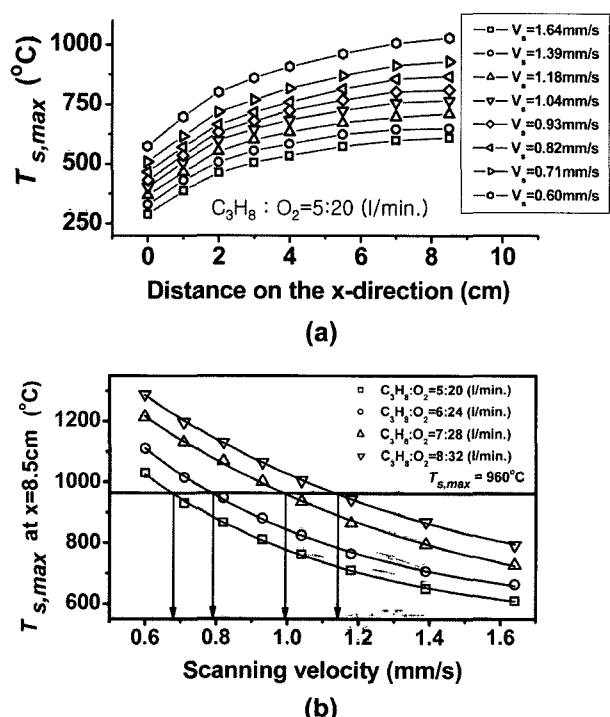


Fig. 3. Variation of (a) maximum surface temperature $T_{s,\max}$ as a function of scanning velocity with $C_3H_8 : O_2 = 5:20 \text{ l/min.}$, (b) maximum surface temperature $T_{s,\max}$ at $x=8.5 \text{ cm}$ for various flame intensity.

변화를 그림 3(a)에 나타내었다($C_3H_8:O_2 = 5:20 \text{ l/min}$). 일정한 V_s 에서의 이동 공정이므로 $T_{s,\max}$ 분포는 그림 2의 그것과 유사한 것을 볼 수 있다. 이동 속도와 화염원인 C_3H_8 과 O_2 의 유속이 증가함에 따라서는 열 주입량 증가로 인해 전체적으로 $T_{s,\max}$ 은 증가한다. 이와 같이 적계는 300°C 에서 많게는 600°C 의 길이방향으로의 큰 온도구배와 불균일한 위치별 온도 특성은 결국 최종 물성치와 밀접한 관련이 있고 불균일한 물성을 초래할 수 있다¹⁰⁾. 이전 연구에서 보고된 960°C 를 설정온도로 하여 최적 이동 속도를 결정할 수 있었다. 그림 3(b)는 화염유속과 V_s 에 따른 마지막지점의 $T_{s,\max}$ 변화를 나타낸 것이다. 이때 얻어진 최적의 화염이동속도는 $C_3H_8:O_2 = 5:20 \text{ (l/min)}$ 일 때 약 0.68 mm/s , $C_3H_8:O_2 = 6:24 \text{ (l/min)}$ 일 때 약 0.80 mm/s , $C_3H_8:O_2 = 7:28 \text{ (l/min)}$ 일 때 약 1.01 mm/s , $C_3H_8:O_2 = 8:32 \text{ (l/min)}$ 일 때 약 1.15 mm/s 이었다. 참고로 GE의 화염경화 규정⁷⁾에 의하면 화염경화 길이가 43 cm , 공정시간이 8 min . 인데 이때의 이동속도는 약 $0.9 \sim 1.0 \text{ mm/s}$ 로서 본 연구에서 얻은 최적 이동속도 조건과 유사함을 알 수 있다.

3.2 화염 유지 및 이동에 의한 공정 특성

공정 특성상 단순 이동 공정만으로는 이동 초기지점의 낮은 온도에 따른 큰 온도구배를 피할 수 없다. 따라서 단순 이동 공정 시 발생되는 초기지점의 낮은 온도를 보상하기 위해 초기지점에서 일정시간 화염유지를 한 후 화염 이동을 실시하였다. 그림 4(a)는 초기지점($x=0 \text{ mm}$)에서 65초 동안 유지하였을 때 화염원($C_3H_8:O_2 = 5:20 \text{ l/min}$)과의 거리에 따른 $T_{s,\max}$ 분포, $V_s = 0.68 \text{ mm/s}$ 로 단순 이동한 경우의 $T_{s,\max}$ 분포와 함께 화염 유지와 이동을 연속으로 실시하였을 때의 실험적인 $T_{s,\max}$ 분포와 앞의 두 결과를 이용한 산술적인 계산에 의한 $T_{s,\max}$ 분포를 비교하여 나타내었다. 실험적으로 확인한 연속공정의 결과는 계산 결과와 달리 매우 균일한 $T_{s,\max}$ 분포를 보임을 알 수 있다. 이러한 이유는 온도 증가에 따라 열용량이 증가하기 때문인데, 65초 동안 화염을 유지한 후 이동하는 경우 초기지점은 이미 800°C 이상의 온도를 갖기 때문에 이후 단순 이동에 의한 열 주입량이 같더라도 상온부터 가열되는 경우에 비해 온도 증가량이 작게 된다. 그림 4(b)는 화염 유지 후 이동하였을 때 각 지점에서의 T_s 의 변화를 나타낸다($C_3H_8:O_2 = 5:20 \text{ l/min}$, $V_s = 0.68 \text{ mm/s}$, $t_h = 65 \text{ sec}$). $T_{s,\max}$ 가 균일하게 제어되었는데 화염처리 영역 각 지점에서의 열 이력은 매우 다른 것을 알 수 있다. 초기지점(TC1, $x=0 \text{ mm}$)의 경우

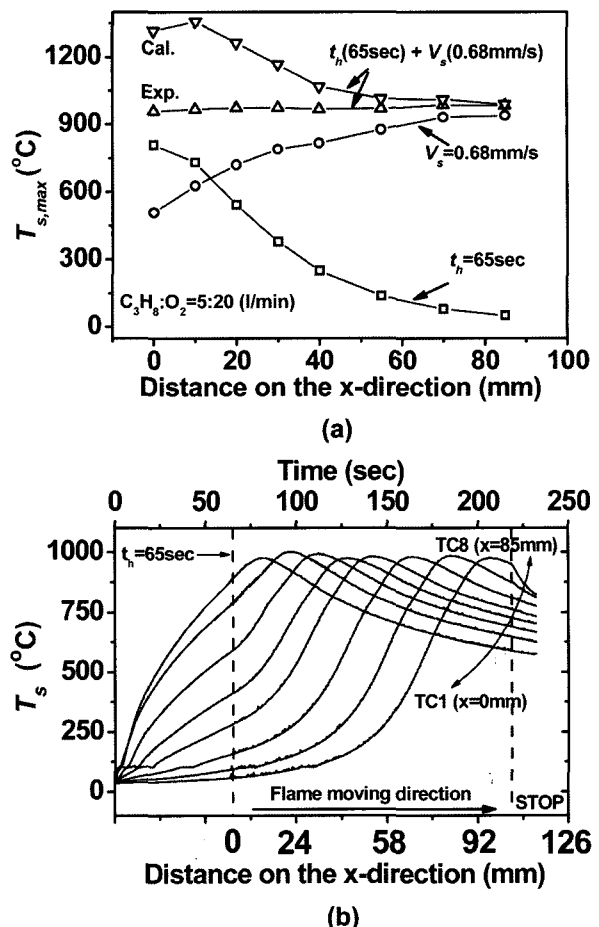


Fig. 4. (a) Comparison of maximum surface temperature $T_{s,\max}$ profile to calculation and experiment for 2 step(holding+moving) process with $C_3H_8:O_2 = 5:20 \text{ l/min}$, $V_s = 0.68 \text{ mm/s}$, $t_h = 65 \text{ sec}$, (b) temperature profile at surface as a function of distance on the X-direction with $C_3H_8:O_2 = 8:32 \text{ l/min}$, $V_s = 0.71 \text{ mm/s}$.

t_h 동안 주입된 열이 승온을 주도하였으며 마지막지점(TC8, $x = 85 \text{ mm}$)으로 갈수록 화염 이동에 의해 전달 및 주입되는 열에 의해 승온 되었음을 알 수 있다. 그림 2에서와 마찬가지로 불균일한 화염의 온도 구배에 기인하는 변곡점을 여기서도 관찰할 수 있다.

그림 5(a)는 화염유속이 $C_3H_8:O_2 = 5:20 \text{ l/min}$ 이고 그림 3에서 결정한 최적 이동속도(0.68 mm/s)에서 표면처리할 때 t_h 의 변화에 따른 x 방향으로의 $T_{s,\max}$ 변화를 나타낸 것이다. 화염유지시간이 증가하면서 온도분포가 점차 일정해지다가 너무 큰 경우 오히려 초기지점에서의 온도가 마지막 지점에 비해 더욱 증가하는 것을 볼 수 있다. 이로부터 각 화염 유속에서 초기 화염유지시간(t_h)에 따라 $x=0$ 지점에서의 $T_{s,\max}$ 과 ΔT , 즉 $x=8.5 \text{ cm}$ 인 지점에서의 $T_{s,\max}$ 과 $x=0$ 지점에서의 $T_{s,\max}$ 의 차이를 결정하여 그림

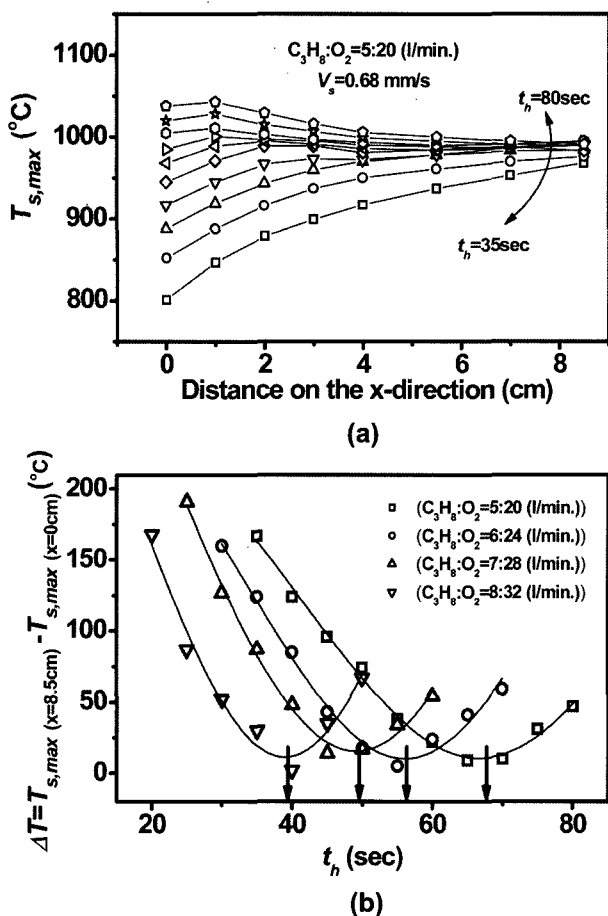


Fig. 5. Variation of (a) maximum surface temperature $T_{s,\max}$ as a function of holding time with $C_3H_8 : O_2 = 5:20 \text{ l/min.}$, $V_s = 0.68 \text{ mm/s}$, (b) $\Delta T = T_{s,\max}(x=8.5\text{cm}) - T_{s,\max}(x=0\text{cm})$ for various flame intensity.

5(b)에 그 결과를 나타내었다. $T_{s,\max}$ 이 960°C로서 $\Delta T = T_{s,\max}(x=8.5\text{cm}) - T_{s,\max}(x=0)$ 의 값이 최소가 되는 즉, 균일한 온도 분포를 나타내는 화염유지시간에 대한 최적 조건은 $C_3H_8 : O_2 = 5:20$ 인 경우 67 sec, $C_3H_8 : O_2 = 6:24$ 인 경우 56 sec, $C_3H_8 : O_2 = 7:28$ 인 경우 48sec, $C_3H_8 : O_2 = 8:32$ 인 경우 39 sec이었다. 이 때 각 화염 유속과 최적 화염이동속도의 조건에서 최소값을 나타내는 ΔT 는 15°C 이내의 값으로서 시편 길이 방향으로 온도 분포가 매우 균일하며 온도 제어가 매우 정밀하였음을 보여준다.

이상의 결과를 이용하여 12Cr steel의 화염경화 이동공정을 위한 화염유속-화염이동속도(V_s)-화염유지시간(t_h)에 대한 공정도를 완성하였다(표 1, 그림 6). 최적의 화염 이동속도(V_s)와 화염유지시간(t_h)은 화염의 유속에 따라 변화하며, 공정시 화염유속의 변화에 따라 이동공정 조건을 선정하는 것이 바람직하다. GE에서 제작된 최종단 동의의 경우 화염경화 영역의 길이 L 이 약 43 cm이고, 총 공정시간이 약 6.5~8.7 min.인 것을 감안할 때 화염이동속도

Table 1. The optimum condition of flame hardening process.

$C_3H_8 : O_2$ (l/min.)	V_s (mm/sec)	t_h (sec)
5:20	0.68	67
6:24	0.8	56
7:28	1.01	48
8:32	1.15	39

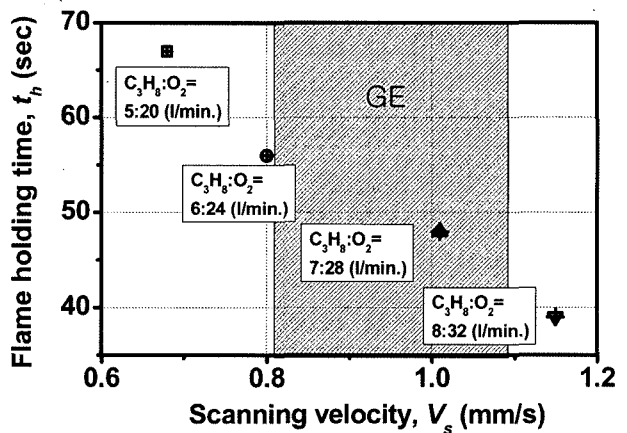


Fig. 6. Flame hardening process diagram to flame intensity-scanning velocity(V_s)-holding time(t_h) for uniform temperature of 12Cr steel.

는 약 0.82~1.10 mm/s이며 이는 본 연구에서 확립한 이동 공정 조건과 매우 유사함을 알 수 있다.

3.3 열 이력에 따른 표면경도와 잔류응력 성질

화염경화 이동 공정 후 시편의 품질을 평가하기 위해 표면경도와 잔류응력 등의 물성 시험을 하였고, 최종적으로 이를 물성치들이 GE의 규정에 부합하는지를 평가하여 바람직한 물성을 갖기 위한 이동공정 특성을 고찰하였다. 물성 측정은 GE의 시험 규정에 근거하여 W/2인 위치에서 x(길이) 방향과 z(너비) 방향으로 경도 및 잔류응력 시험을 행하였다. 그림 7은 온도 분포가 최종 물성에 미치는 영향을 관찰하기 위해 화염 유속 $C_3H_8 : O_2 = 5:20$ (l/min), $V_s = 0.68 \text{ mm/s}$ 일 때 t_h 가 35 sec, 67 sec, 130 sec로 변화되었을 때 각각의 표면온도(T_s)의 변화로부터 결정된 $T_{s,\max}$ 를 x 방향으로 거리에 따라 나타내었다. $t_h = 35$ sec인 경우 열 주입량이 작아서 설정 온도인 960°C에 못 미치고 있으며 x 방향으로 상당히 큰 $T_{s,\max}$ 의 온도구배를 보여주고 있고, $t_h = 67$ sec인 경우에는 설정온도에 정확히 도달되었으며 x 방향으로 매우 균일한 $T_{s,\max}$ 분포를 나타내었다. t_h 가 130 sec로 더욱 증가한 경우 초기 지점에서 많은 열 주입으로 인해 오히려 설정온도보다 높

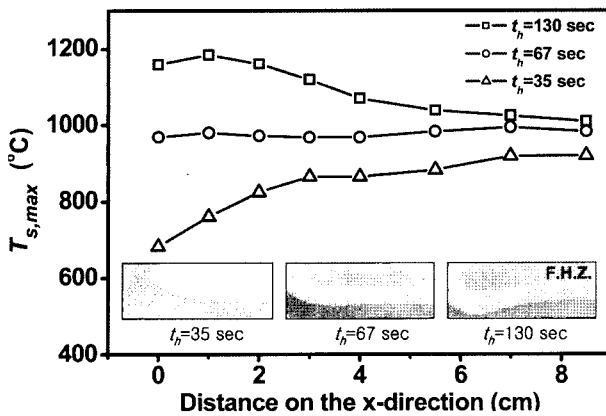


Fig. 7. Variation of maximum surface temperature $T_{s,\max}$ at various holding time with $C_3H_8:O_2 = 5:20$ l/min, $V_s = 0.68$ mm/s.

온도를 나타내었고 역시 x 방향으로의 큰 $T_{s,\max}$ 의 온도구배를 나타내었다. 이러한 온도분포의 차이는 화염경화 영역의 미세조직 변화를 통해 확인할 수 있다. $t_h = 35$ sec인 경우, 변태온도에 못 미친 초기 지점에서는 급랭에 의한 미세조직 변화가 일어나지 않았고 x 방향으로 경화영역이 불균일한 것을 볼 수 있다. $t_h = 67$ sec인 경우는 매우 균일한 $T_{s,\max}$ 분포에서 예상할 수 있듯이 화염경화 이동 공정 후 x 방향으로 균일한 경화영역을 보여주고 있다. $t_h = 130$ sec에서는 초기 지점의 경화 영역이 크게 확대된 것을 확인할 수 있다.

그림 8(a)는 각 시편의 x 방향으로의 표면경도 특성을 나타내었다. 이전 연구에서 표면경도는 탄소 고용량에 영향을 끼치는 오스테나이트화 시간과 선형적 관계가 있음을 보고하였다³⁾. $t_h = 35$ sec인 경우 초기 지점에서는 열 주입량이 작아 오스테나이트화 온도 $T_{AUSTENITIZATION}$ 에 도달하지 못하였고 이로 인해 냉각에 의해 경도증가가 발생하지 않았으나, x 방향으로 거리가 증가하면서 점차 경도가 증가하여 GE에서 화염경화 시 요구하는 최소 경도 393 HV 이상이 되는 것을 볼 수 있다. 그러나 전체적으로 불균일한 경도 특성과 큰 경도 구배를 나타내었다. $t_h = 67$ sec인 경우에는 $T_{s,\max}$ 온도분포가 전제적으로 균일했듯이 경도 역시 x 방향으로 경도구배가 없이 470~490 HV로 매우 일정한 값을 나타내었다. $t_h = 130$ sec인 경우에는 초기에 약 530~550 HV로 매우 큰 경도값을 보이다가 x 방향으로 거리가 증가하면서 경도가 점차 감소하여 470 HV로 일정해짐을 볼 수 있다. 이러한 초기지점에서 큰 경도가 형성된 것은 $T_{s,\max}$ 가 높아지면서 오스테나이트화 시간이 증가하여 탄소의 고용량이 증가했기 때문이며, x 방향으로 경도의 점차적 감소는 $T_{s,\max}$ 감소에 의해 오스테나이트화 시간이 짧아져 탄소 고용량이

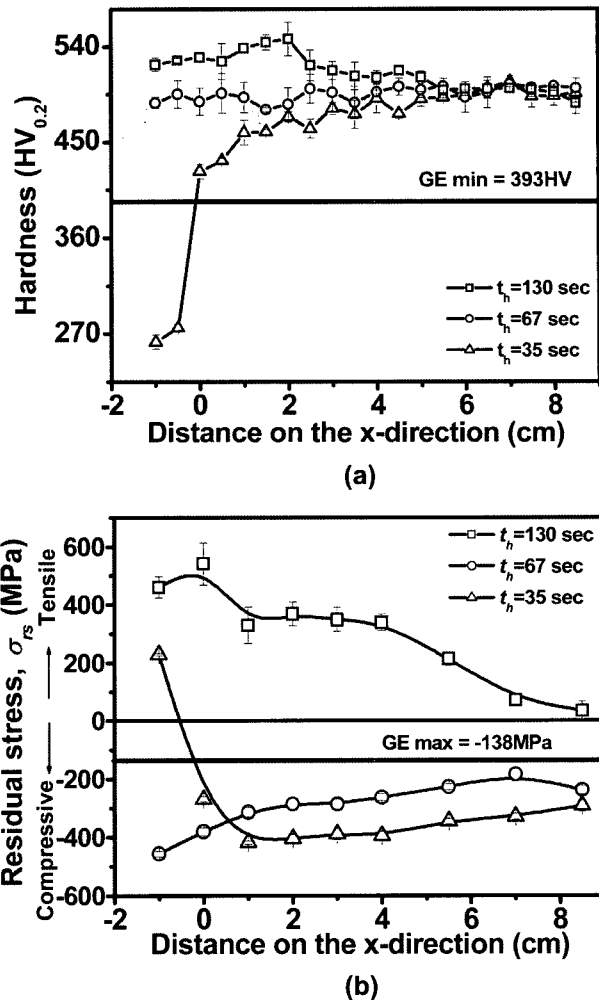


Fig. 8. Variation of (a) micro-Vickers hardness, (b) residual stress on the x-direction as a function of holding time with $C_3H_8:O_2 = 5:20$ (l/min.), $V_s = 0.68$ mm/s.

감소하였기 때문이다. 그림 8(b)는 각 시편의 x 방향으로의 잔류응력 특성을 보여준다. 일반적으로 경화층의 잔류응력은 마르텐사이트 변태에 따른 인장응력^{11,12)}과 열구배에 의한 압축응력^{12,13)}의 경쟁적 기여에 의해 생성된다. $t_h = 35$ sec인 경우 초기 지점에서 약 200 MPa 이상의 인장응력이 형성된 것을 볼 수 있으며 x 방향으로의 거리가 증가하면서 점차 압축응력 상태로 이동하여 약 -380~-420 MPa의 일정한 값을 나타내는 것을 볼 수 있다. 경화되지 않은 초기 지점의 응력상태는 현용 상태의 인장응력을 나타내고 있으며, x 방향으로 $T_{s,\max}$ 가 증가함에 따라 열응력 성분이 증가하여 압축응력 상태로의 급격한 변화를 보여준다. 인장응력에서 압축응력으로 전이되는 구간은 그림 8(a)의 경도의 급격한 증가가 발생하는 구간과 일치하며 이 구간은 그림 6의 온도분포로부터 $T_{AUSTENITIZATION}$ 이상의 마르텐사이트 변태가 발생하기 시작하는 위치임을 알 수 있

다. 초기지점에서는 상당히 큰 응력구배를 갖고 있으며 GE에서 제시한 응력 기준인 -138 MPa을 벗어나 있음을 볼 수 있다. 그러나 $t_h=67$ sec인 경우 x 방향으로 압축응력이 -300~450 MPa의 범위 내에서 균일하게 형성되었음을 볼 수 있다. 이는 역시 균일한 표면온도와 경도의 제어에 의한 것으로서 전체적으로 GE의 화염경화층 잔류응력 검사기준을 잘 만족하고 있음을 보여준다. $t_h=130$ sec인 경우에는 전체적으로 인장응력이 발생하였음을 볼 수 있는데, 이는 x 방향으로 1250°C에서 1000°C 이상의 높은 $T_{s,\max}$ 를 경험함으로써 마르텐사이트 변태에 의한 변태응력의 기여도가 매우 커졌음을 의미한다. 전체적인 응력 상태는 GE의 응력 기준으로부터 많이 벗어나 있음을 관찰할 수 있으며 비록 경도 측면에서는 바람직한 물성치를 나타내었지만 응력 제어의 필요성을 시사하고 있다.

그림 9(a)는 각 조건의 $x=65$ mm 지점($L/2$)에서 W 방향으로의 경도 특성을 보여주고 있다. t_h 에 관계없이 유사한 경도 분포를 보여주고 있으며, GE의 경도 기준을 잘 만족하고 있다. 약 3 cm의 경화너비(W)를 나타내었다. 그림 9(b)는 각 조건에서 화염경화 이동공정 처리된 시편에 대해 역시 동일 지점에서 측정한 W 방향의 잔류응력 분포를 보여준다. 경화된 영역에서는 압축응력을 나타내었고, 경화 경계에서 매우 급격한 응력 변화와 함께 경화되지 않은 영역에서는 인장응력으로 전이하고 있음을 보여준다. GE의 응력 기준에 비추어 볼 때 경화영

역 내에서는 바람직한 응력상태를 형성하였음을 보여준다.

4. 결 론

원자력 증기 터빈 동의 재료로 사용되고 있는 12Cr 강의 이동 화염경화 공정 최적화와 열 이력 특성에 따른 경도 및 잔류응력 특성에 대해 고찰하였다. 공정 최적화를 위해 이전 연구에서 경도와 잔류응력 특성이 가장 우수하였던 960°C를 최적 표면온도로 설정하여 균일한 이동공정 표면온도 제어를 위한 화염유속-화염이동속도(V_s)-화염유지시간(t_h)에 대한 공정도를 완성한 결과 최적의 공정조건은 $C_3H_8:O_2=5:20(l/min)$ - 0.68 mm/s - 67 sec, $C_3H_8:O_2=6:24(l/min)$ - 0.80 mm/s - 56 sec, $C_3H_8:O_2=7:28(l/min)$ - 1.01 mm/s - 48 sec, $C_3H_8:O_2=8:32(l/min)$ - 1.15 mm/s - 39 sec이었다. 화염경화 이동공정의 열 이력 특성이 최종 물성에 미치는 영향을 관찰하기 위해 화염유속 $C_3H_8:O_2=5:20(l/min)$, $V_s=0.68$ mm/s일 때 t_h 가 35 sec, 67 sec, 130 sec로 변화됨에 따라 화염경화 층의 경도 및 잔류응력 분포를 측정하였다. $t_h=35$ sec와 130sec인 경우 열 주입량이 작아 설정온도인 960°C에 못 미치거나 너무 큰 열 주입으로 인해 설정온도보다 높아져서 이동방향(x 방향)으로 상당히 큰 $T_{s,\max}$ 의 구배를 나타내었다. 이를 경우에서 경도는 GE에서 화염경화 시 요구하는 최소 경도 393 HV 이상이 되었지만 x 방향으로 큰 경도 구배를 보였고, 잔류응력은 GE 응력 기준인 -138 MPa을 벗어난 인장응력이 생성되었으며 분포 또한 매우 불균일하였다. 이에 비해 $t_h=67$ sec인 경우는 설정온도에 정확히 도달하여 매우 균일한 $T_{s,\max}$ 분포를 보였고 경도 역시 x 방향으로 경도구배가 없이 470~490 HV로 매우 일정한 값을 나타내었으며 잔류응력은 -300 MPa~450 MPa의 범위 내에서 균일하게 형성되었음을 볼 수 있었다. 이러한 결과는 경화층의 바람직한 물성조절을 위해 경도뿐만 아니라 잔류응력 제어의 필요성을 시사하고 있다.

후 기

본 연구는 산자부 원자력 중·장기 연구 개발 사업(MOCIE)의 원전기술 혁신분야의 재정적 지원에 의해 이루어졌으며 이에 감사드립니다.

참고문헌

- I. R. Pashby, S. Barnes, B. G. Bryden, J. Mat.

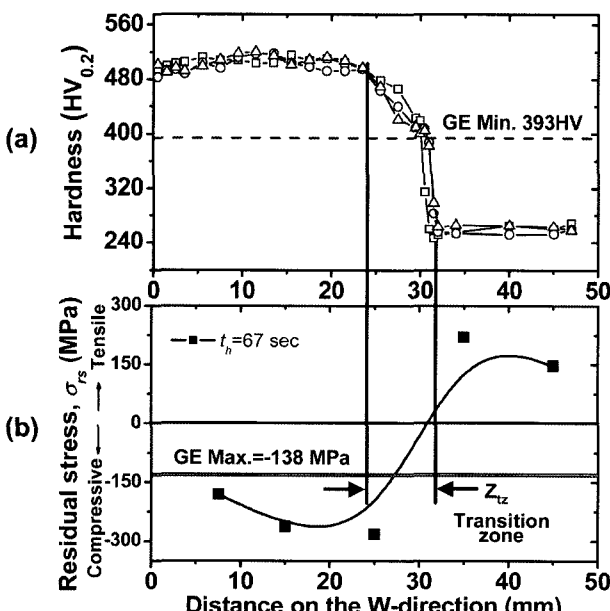


Fig. 9. Variation of (a) micro-Vickers hardness, (b) residual stress on the w-direction as a function of holding time with $C_3H_8:O_2=5:20(l/min.)$, $V_s=0.68$ mm/s. Z_{tz} : transition zone.

- Processing Tech., 139 (2003) 585.
- 2. S. F. Luk, T. P. Leung, W. S. Miu, I. Pashby, J. Mat. Processing Tech., 91 (1999) 245.
 - 3. M. K. Lee, G. H. Kim, K. H. Kim, W. W. Kim, Surf. Coat. Tech., 184 (2004) 239.
 - 4. K. Schleithoff, F. Schmitz, Workshop Proceedings, edited by R. I. Jaffee, Palo Alto, CA, Sep. 21-24, EPRI, Pergamon Press, (1981) 2-70.
 - 5. M. Heitkemper, C. Bohne, A. Pyzalla, A. Fischer, Int. J. Fatigue, 25 (2003) 101.
 - 6. E. Stuecker, G. Gartner, H. J. Hamel, Steam and Combustion Turbine Blading conference and Workshop, Orlando, Florida, (1992) 1.
 - 7. Process specification, Materials and Process Engineering, GE Power Engineering, Schenectady, NY, (1995) 14.
 - 8. B. D. Cullity, Elements of X-ray diffraction (Addison-Wesley, Reading, MA) 2nd ed., 447 (1978)
 - 9. J. M. Char, J. H. Yeh, J. Quant. Specrosc. Radiat. Transfer, 56(1) (1996) 133.
 - 10. M. Melander, Yao Shanchang, T. Ericsson, In Proc. 3rd Int. Congress on Heat Treatment of Materials, Shanghai, PT (1984) NOV, 2.75-7.85.
 - 11. Bekir Sami Yilbas, Muhammad Sami, Shahzada Zaman Shuja, Optics and Lasers in Engineering, 30 (1998) 25.
 - 12. S. Sen, B. Aksakal, A. Ozel, Int. J. Mech. Sci. 42 (2000) 2013.
 - 13. Janez Grum, J. Mat. Processing Tech., 114 (2001) 212.